

高等学校教學用書



# 專門物理實驗

## 第一卷

G. B. 斯皮瓦克主編  
馮志超等譯  
高兆蘭校

高等教育出版社

本書系根据苏联国立技术理論書籍出版社（Государственное издательство технико-теоретической литературы）出版的斯皮瓦克（Г. В. Спивак）主编的“專門物理實驗”（Специальный физический практикум）第二卷 1945 年版譯出。原書經苏联人民委員会的全苏联高等学校委員会审定为大学教学参考書。

原書分兩卷，第一卷包括四篇：第一篇为振动物理学；第二篇为光学；第三篇为电子和离子过程的物理学；第四篇为分子物理学和热現象物理学。

本卷由华南工学院馮志超、苏銳堅、梁恒心、李文江、黃卓璇、区奕勤、叶凌雲等合譯，由中山大学高兆蘭校。

2P866  
7

## 專門物理實驗

第一卷

G. B. 斯皮瓦克 主編

馮志超 等譯

高等 教育 出 版 社 出 版 北京琉璃廠 170 号

(北京市書刊出版業營業許可證出字第 054 号)

京华印書局印刷 新華書店總經售

統一書號 13010·345 開本 850×1168 1/12 印張 11 8/16 字數 281,000 刷數 0001—3,500  
1957 年 11 月第 1 版 1957 年 11 月北京第 1 次印刷 定價 (8) ￥ 1.30

# 序

本書是供大學和高等師範學校物理專業學生參考用的，與供所有專業低年級學生作教程用的普通物理實驗課本有所不同。對於學化學、學生物的大学生和高等工業學校學生來說，如果熟識專門物理儀器和方法是他們的專業培养的重要部分，那麼，無疑地，“專門物理實驗”一書對他們也是有益處的。

在本書的各篇中，內容的選定在某種意義上反映出國立莫斯科大學物理系專門物理教學研究組興趣所在的科學和技術範疇。

在培养合乎規格的專家的計劃中，專門物理實驗的學習占有最重要地位中之一。此實驗課的主要任務，在於培养學生在使用物理研究實驗室中所應用的充分精密和複雜儀器方面的實驗技能，使學生慣於利用專門參考文獻，以便他們以後能够着手從事於畢業論文和科學研究工作。但是，在我們祖國的教學文獻中，過去還沒有一本這樣的實驗教程能夠充分完備地包括物理學各種領域。譯成俄文的韓韋耳(Harnwell)和利芬固(Livingood)著的“實驗原子物理”一書具有專門物理實驗的性質，但問題的範圍較窄。由此可見，國立莫斯科大學物理系的專門物理實驗著作的出版，就把我們教學文獻中曾經有過的那个重要空白點填補起來了。

本書在很多地方略去公式的推導和實驗儀器的詳細描述。讀者可在每一實驗所指出的參考文獻中找到必需的資料，為了深入研究問題，通曉這些文獻是必需的。在國立莫斯科大學的專門物理實驗課中，學生的工作性質與普通物理實驗課中的工作性質有很大的差別。首先，學生不僅集中注意於使用較複雜儀器的測量技術，而且也致力於加深物理現象的非常豐富的本性的認識。此

外，在專門物理實驗中，學生會熟識新的物理現象和物理研究方法。讓學生有可能重新“揭露”現象並對現象作詳細的研究。在本卷中所研究的儀器，使教師能夠對專門物理實驗的建立有寬廣的變更余地。

“專門物理實驗”一書所敘述的儀器和實驗，曾在實驗課中或學系的相當實驗室中考驗了好多次。

“專門物理實驗”一書分為兩卷出版。第一卷包括有下列各篇：(1)振動物理學，(2)光學，(3)電子和離子過程的物理學，(4)分子物理學和熱現象物理學。第二卷則包括有下列各篇：(1)低溫物理學，(2)倫琴物理學和倫琴結構分析，(3)鐵磁學，(4)科學照相學。

國立莫斯科大學物理系全體教授和教師同人參加了兩卷“專門物理實驗”的出版準備工作。

(編寫人員名單五段從略)

“專門物理實驗”一書的出版，反映出莫斯科大學物理研究所培養物理學家方面所累積起來的經驗。此種經驗不僅對其他高等學校在教學上會有益處，而且對研究實驗室的科學實驗和科學技術實驗的建立也是有益處的。

我們感謝國立莫斯科大學物理系主任和物理研究所所長、蘇聯科學院通訊院士 A. C. 蒲烈沃季捷列夫教授在組織本書出版工作方面的幫助。

Г. В. 斯皮瓦克

莫斯科，1943年1月。

53.0575  
 44/4  
 Vol. 1

12.

## 目 录

### 第一篇 振动現象的物理学

緒論 .....	1
實驗 1. 兩耦合摆系統中的自由振动 .....	5
實驗 2. 兩耦合摆系統中的受迫振动 .....	13
實驗 3. 在具有氖管的电路中的不連續振蕩 .....	19
實驗 4. 湯姆孙式振蕩器的研究 .....	24
實驗 5. 在諧和外力作用下的湯姆孙式振蕩器 .....	33
實驗 6. 均匀的弦 .....	42
實驗 7. 非均匀的弦 .....	48
實驗 8. 勒謝爾錢 .....	54
實驗 9. 波在共振媒質中的傳播 .....	65
實驗 10. 指向天綫 .....	72

### 第二篇 光学

緒論 .....	79
實驗 11. 塞曼效应。电子荷質比的测定 .....	84
實驗 12. 液体混合物的洛倫次-洛倫茲公式的驗証 .....	89
實驗 13. 折射率依从于压强关系的研究(雅滿干涉仪) .....	94
實驗 14. 用光学方法求定超声波在液体中的速度 .....	101
實驗 15. 光的反射系数和偏振的研究(菲涅耳公式) .....	108
實驗 16. 光的联合散射 .....	116
實驗 17. 在液体中散射光的退偏振度的确定 .....	123
實驗 18. 攝譜仪 .....	129
實驗 19, 20, 21 的緒論 .....	141
實驗 19. 用照相法作定性光譜分析 .....	146
實驗 20. 利用“析鋼分光計”用視力法进行定量光譜分析 .....	153
實驗 21. 按“三标准法”用照相进行光譜分析 .....	159

45000

### 第三篇 电子和离子过程的物理学

緒論.....	164
實驗 22. 高度真空中技术基础 .....	168
實驗 23. 电离压強計 .....	179
實驗 24. 帕邢定律的實驗驗証 .....	184
實驗 25. 輝光放电中陰極電勢降的測定 .....	188
實驗 26, 27, 28, 29, 30, 31 的緒論.....	194
實驗 26. 用試探電極法研究气体放电 .....	206
實驗 27. 磁控管的靜态特性 .....	227
實驗 28. 电子显微鏡(具有磁透鏡的) .....	232
實驗 29. 光电子的速度分布和普朗克恒量的測定 .....	240
實驗 30. 次級電子發射 .....	244
實驗 31. 电量放电 .....	252
實驗 32. 亞穩原子在放电中的效應 .....	260
實驗 33. 閘流管的研究 .....	268

### 第四篇 分子物理学和热現象物理学

緒論.....	274
實驗 34. 以巴喇-維恩特法測定金屬棒的导热系数.....	278
實驗 35. 以溫度波法求定金屬的导温系数 .....	283
實驗 36. 金屬的导热系数与导电系数比的測定 .....	291
實驗 37. 以史萊爾馬赫法測定气体的导热系数 .....	297
實驗 38. 圓柱体在气流中的冷却 .....	305
實驗 39. 用冷却法測定金屬的比热 .....	313
實驗 40. 用超声測定液体的比热比及其他參量 .....	320
實驗 41. 液体粘滯性对溫度的依从关系 .....	328
實驗 42. 用惠易-迈克耳孙法測定气体混合物燃燒的法向速度 .....	333
實驗 43. 測定火焰在管中的傳播速度 .....	337
實驗 44. 測定冲击波的傳播速度 .....	344

# 第一篇 振动現象的物理学

## 緒 論

振动過程的領域包括很多種在數量級方面和特徵方面很不相同的物理現象。振动這門科學，不討論這些物理現象的物理性，而根據在理論研究中所應用的方法的共同性，把這些現象加以綜合，并使之系統化。這樣，擺的機械振动，亥姆霍茲(Helmholtz)共振器中的聲振动和湯姆孫(Thomson)迴路中的電磁振蕩，都是屬於一類的問題。從振动理論的觀點來看，其他一些可以作為同類現象的例子是：無線電發送機中產生電磁振蕩；利用弦管乐器發聲，鐘表機構的運動；以及一系列其他的振动系統的作用，這些系統將它們所儲備的其他形式的能量轉變為振动能量。這種系統化的特徵使振动理論與數理物理相類似，但在這種情況下也不可把前者當作為後者的一部分。

數理物理和振動物理是從不同的觀點來研究振动系統的。假如在任何時間內振动系統的瞬時狀態為已知，則數理物理認為這問題已經解決。振動物理則研究振动過程對於振动系統的作用，或者研究在更為普遍的情況下振动系統間的相互作用；正如下面要指出的，這種相互作用並不是決定於系統的瞬時狀態，而是決定於在或長或短的時間內振动過程的特徵。因此，在研究振动系統的相互作用時，我們感到興趣的是那些足以表征整個振动過程的某些物理量。

上述振动理論問題的特殊性，決定於近代工程技術向振动理論所提出的問題的性質。例如，無線電技術上的一个主要問題，是

無線電發送机对無線电接收机的作用。此时，技术上提出了如何用最經濟的方法来产生强力电磁振蕩的問題，以及如何充分利用共振接收的选择性来取得最灵敏的接收的問題。另一个技术上的重要問題，是关乎减小在各种机器和機構中的震动。在此情形下，机器个别部分間的共振作用往往起着破坏的作用，因而振动理論应指出一些能抑制振动的有效方法。

振动現象，如同任何物理現象一样，只有借助于簡化模型的探討，才能用数学分析来掌握。在这些簡化模型中只保留实在系統中的一些主要特征，这些特征对于說明我們所感兴趣的現象是重要的。

从最簡單模型的觀点来作振动問題的系統研究，对于振动系統的分类提供合理的基础。

我們把振动系統分为：

- a) 具有一个自由度的系統；
- b) 具有多个(2, 3, 一般为  $n$  个)自由度的系統；
- b) 具有無限多个自由度的系統——分布系統。

根据微分方程式的复杂程度，振动理論的問題可分为綫性的和非綫性的兩种。

在线性系統中，数学工具是具有不变系数的綫性微分方程式。

綫性的問題由實驗 1 和 2 及實驗 6—10 来代表，在實驗 1 和 2 中將揭露具有兩個自由度的耦合系統的基本特性(关于研究具有一个自由度的綫性振动系統的實驗是属于普通物理實驗的部分)；在實驗 6—10 中則用机械分布系統和电的分布系統来闡明。

迄至最近，研究者所注意到的几乎完全是集中于綫性系統方面。这些系統的理論是研究得比較好的。

用以研究綫性振动系統間的相互作用的基本方法，是使振动

过程表示为简单振动的总和形式。在具有恒定参量的线性系统的情形中，例如当研究无线电发送机的振荡在具有共振回路的接收机上的作用时，可应用分解法，把振动分解为一些谐和成分〔分解为傅里叶(Fourier)级数〕。这样的研究方法可以称为频谱方法。

在研究振动过程时，应用频谱方法的合理性是以线性振动系统一定的物理性质为先决条件。首先必须指出，把描述振动的复杂函数分解为个别成分，这只有当成分总和的作用等于个别成分作用的总和时才有意义，也就是说，当作用在系统上的个别成分彼此没有关系时才有意义。所有的线性系统都具有这些性质。换言之，叠加原理适合于每一个线性系统。第二个要素是关于选择什么函数作为成分的问题，亦即把什么函数认为是简单函数的问题。最好是把作用分解为这样的函数，使这些函数可由给定的线性系统无畸变地重发。因此，对于所提出的問題的解答是不能預知的，对于不同的线性系统可能是不同的。对于具有恒定参量的线性系统，例如对于一般的线性共振器，谐和(正弦形式的)函数是简单的函数。

因此，为了估计具有恒定参量的线性系统间的相互作用，特别是当考虑一个系统对另一个系统的单方面作用时，我们所感兴趣的不是作用的瞬时值而是它的频谱的组成，即个别谐和成分的振幅和频率。

在自然界和工程技术中，有很多种振动系统可以足够的准确程度当作为恒定参量的线性系统来看待，这一事实，也說明了把周期性的运动和力分解为谐和成分这一种方法所具有的特殊意义。

选择谐和函数作为分解成分，仅对恒定参量的线性系统才有意义。例如，如果我们处理一个具有周期变化参量的线性系统(电容或自感作周期性变化的湯姆孙式的回路)，那么在这个系统上的谐和作用将不会是无畸变地重发，因此在这里正弦不能作为实在

的簡單函数来看待。虽然如此，頻譜方法在此处仍然是有效的。

在非綫性振动系統的情况下，叠加原理，也就是說頻譜方法，顯見得失去效力。同时，产生振动的基本問題，就是說，依靠一些沒有振动性質的能源来产生無衰減振动的問題，就不可避免地涉及到非綫性的微分方程式的研究。在非綫性系統中的振动現象比較在綫性系統中的振动現象要复杂得多，而且是多种多样的。因此，为了解釋这些現象所必需的数学工具也是比較更复杂的。一般說來，在这一領域中精确的解答我們是不知道的，因而只能被迫地滿足于近似的結果，有时甚至只是定性的結果。在目前，由于荷蘭物理学家范德普(Van der Pol)的工作，特别是由于苏联科学院院士曼介尔士坦(Л. И. Мандельштам)和巴巴列克西(Н. Д. Папалекси)对这些問題的广博的研究，已作出了兩种絕對不同类型的非綫性系統的研究方法，这兩种非綫性系統是：(1) 近似于綫性保守系統的非綫性系統，即所謂湯姆孙式的系統，和(2) 突变式的或張弛式的非綫性系統。非綫性問題的研究見實驗 3, 4, 5, 6。

在實驗 3 和 4 中研究这样的系統，这些系統与外界作用隔离，并具有建立稳定振动的性能，这些稳定振动的特性并不依从于振动的初始状态而是决定于系統本身的性質。这些系統称为自持振动系統，而由这些系統所建立起来的振动則称为自持振动。

有兩种彼此截然不同的自持振动的类型：(1) 湯姆孙式的振动，此种振动近似于諧和振动，(2) 張弛式的振动，此种振动的波形具有突变的特性，即富于高次泛音。

湯姆孙式的自持振动見實驗 4，而張弛式的振动則見實驗 3。

本實驗教程中，本篇的目的在于使学生通过實驗熟悉一些最典型的振动現象，指出研究这些現象所应用的一些基本的實驗方法和若干理論方法，对这些現象給予一个尽量清楚的物理概念。最后，所援引的这些實驗無論在什么程度上都不强求完全包括涉及

振动物理学的各种問題的全部范畴。

在线性的和非线性的实验的場合中所提出的目的是稍为不同的。在线性的实验中，目的是在使学生能够了解基本的方法和原理并在这基础上能够对线性系統中所有的振动現象确立一个清楚的物理概念。在介绍非线性的問題时，则提出較为簡單的目的：使学生首先熟悉問題的事实方面，通过实验給学生指出这些系統的新的、特殊的非线性的性質，而这些系統是不能用线性方法来处理的。对于所觀察到的現象，仅在最簡單的情况下才给出定量的理論(实验 3 和 4)，但对于新的非线性現象的本質，则尽可能随处予以定性的說明。

在这些实验中，多半是提出由实验来确定表征振动过程的那些物理量之間定量的相互关系，这是一方面，另一方面是确定系統中机械的或电学的參量之間定性的相互关系，同时把这些从实验得到的关系和相应的理論关系作出比較。正如上面所指出，在理論上所研究的简化模型仅保留实在系統的某些特性。因此，对实在系統中所發生的一些現象作理論的研究时，必須解决的第一个問題是：实在系統的什么特性对說明这种現象是重要的。換言之，必須确定如何来把所給定的系統理想化以及理想化到什么程度，以使所得到的模型保留着我們所感兴趣的那些現象的基本特性。把理論的結果和实验結果进行比較，就可以解决这个問題。將理論和实验上的差別进行分析就可以确定出：实在系統的什么特性对說明已知現象的機構是重要的。

## 实验 1. 两耦合摆系統中的自由振动

研究某一个系统的自由振动的特性，这个系統由两个彼此互相作用着的最簡單的振动系統(每一系統具有一个自由度)所組成。

### § 1. 緒言

在此實驗中，將研究到一系列所謂耦合系統的振动結構所具有的一些典型規律性。兩個互相作用的电振蕩迴路，与压电石英片（共振器）相耦合的电路，与膜或其他这一类的共振器相耦合的声波共鳴器，具有福拉木（Фрам）稳定器的輪船（福拉木稳定器是用以減少搖蕩的），鈴及鈴舌，在共同軸上的兩個飞輪，兩個互相作用的原子，以及在物理学家和工程师們各种日常實踐中的許多其他情况（这些情况初看来似乎毫無相同之处）等，都是耦合振动系統的事例。

从以上列举的事例可見，这些系統都是由兩個彼此互相作用的振动系統所組成的。

每一个耦合系統都有这样的基本特征：它的固有振动在一般的情况下是非諧和的。依从于觀察的方法，此振动可以表現为拍，發生拍时，振动能量从系統的一部分轉移到另一部分，然后相反又轉移回来，这样有周期性地进行；或者可以表現为具有頻率為 $\omega_1$ 的和 $\omega_2$ 的兩個諧振动的总和，頻率 $\omega_1$ 和 $\omega_2$ 決定于整个系統的結構。

### § 2. 理論

以后將会看到，假如把系統的每一部分当作具有一个自由度的振动系統来看，且每一部分均能作無阻尼的諧振动，則上述的各种特殊現象都屬於理論上的范例。

我們選擇兩個重的摆作为要研究的系統。这两个摆利用一个彈簧耦合起来（圖 1）。假如这一系統以及實驗条件能滿足以后將要提到的某一些要求，則两个摆的运动可以充分准确地以两个二阶線性微分方程式来描述：

$$\ddot{\varphi}_1 + n_1^2 \varphi_1 - \lambda_1 \varphi_2 = 0, \quad (1.1)$$

$$\ddot{\varphi}_2 + n_2^2 \varphi_2 - \lambda_2 \varphi_1 = 0. \quad (1.2)$$

这里  $n_1 = \sqrt{\frac{m_1 g l_1}{J_1} + \lambda_1}, \quad n_2 = \sqrt{\frac{m_2 g l_2}{J_2} + \lambda_2}, \quad (1.3a)$

$$\lambda_1 = \frac{k a^2}{J_1}, \quad \lambda_2 = \frac{k a^2}{J_2}, \quad (1.3b)$$

式中  $J_1$  和  $J_2$  是两个摆  $C_1$  和  $C_2$  的转动惯量,  $m_1$  和  $m_2$  是它们的质量, 假定集中于二摆的重心, 由悬挂点  $O_1$  和  $O_2$  至重心的距离为  $l_1$  和  $l_2$ ,  $k$  是弹簧的弹性系数。其余的记号在图 1 中已表出。

这方程式组的一般解有如下的形式:

$$\varphi_1 = A' \cos(\omega_1 t + \psi') + A'' \cos(\omega_2 t + \psi''), \quad (1.4a)$$

$$\varphi_2 = k_1 A' \cos(\omega_1 t + \psi') + k_2 A'' \cos(\omega_2 t + \psi''), \quad (1.4b)$$

式中  $A'$ ,  $A''$ ,  $\psi'$  和  $\psi''$  由起始条件来决定, 但  $\omega_1$ ,  $\omega_2$ ,  $k_1$  和  $k_2$  各量则不依从于起始条件而是由方程式(1.1)和(1.2)的结构所决定, 也就是说由振动系统的性质所决定。即

$$2\omega_{1,2}^2 = n_1^2 + n_2^2 \pm \sqrt{(n_1^2 - n_2^2)^2 + 4\lambda_1\lambda_2}, \quad (1.5)$$

$$2k_{1,2} = \frac{1}{\lambda_1} \left( n_1^2 - n_2^2 \mp \sqrt{(n_1^2 - n_2^2)^2 + 4\lambda_1\lambda_2} \right), \quad (1.6)$$

在这里, 根号前上边的符号是属于  $\omega_1$  和  $k_1$  的, 下边的符号是属于  $\omega_2$  和  $k_2$  的。

从式(1.4)可以看到, 在一般的情况下两个摆的振动是非谐和的。其中每一个振动均可由频率<sup>①</sup>为  $\omega_1$  和  $\omega_2$  的两个谐振动所组成的形式来表示。

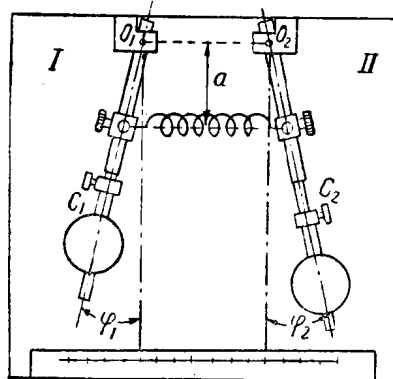


图 1. 耦合摆。

(1) 此处所指的是圆频率。后面也有同样的情况, 把圆频率也称为频率, 请读者注意——译注。

讓我們首先研究頻率為  $\omega_1$  的振动。必須指出，這一個頻率為  $\omega_1$  的振动在每一个摆中都存在，并在兩個摆中均具有同一周相  $\psi'$  而其振幅的比值是一常数  $k_1$ 。這一個事實可以这样來研究，即把振动  $A' \cos(\omega_1 t + \psi')$  和振动  $k_1 A' \cos(\omega_1 t + \psi')$  作为一个振动的兩個分量，這一個振动称为簡正振动。它以簡正頻率  $\omega_1$  振动，并依据簡正振动的分配系数  $k_1$  分配在坐标  $\varphi_1$  和  $\varphi_2$  之間。对于頻率為  $\omega_2$  的振动同样地可以这样表示。

为了說明系統的参数  $n_1$ ,  $n_2$ ,  $\lambda_1$  和  $\lambda_2$  的物理意义以及这些参数对于兩個摆的振动形式的影响，我們用下列的方法將此振动系統分解为兩個支系統：把左边的摆固定在  $\varphi_1 = 0$  的位置，我們得到固有頻率為  $n_2$  的右支系統。仿此，引用  $\varphi_2 = 0$  的关系，我們便分出了頻率為  $n_1$  的左支系統。現在我們可以把圖 1 所示的系統當作兩個支系統來研究。在这兩個支系統之間有着力的耦合，由  $\lambda_1 \varphi_2$  和  $\lambda_2 \varphi_1$  這兩項表示。

讓我們在支系統和整個系統的特性之間建立一些关系。

1. 支頻率  $n_1$  和  $n_2$  是在簡正頻率  $\omega_1$  和  $\omega_2$  的間隔之內。
2. 支系統相互作用的特征由  $\frac{\lambda_1 \lambda_2}{(n_1^2 - n_2^2)^2}$  之值来决定，这一數值根据 J. H. 曼介爾士坦院士所用的术语，称为支系統的“耦合度”。

“耦合”和“耦合度”这两个概念必須加以区别。今后我們將經常設  $\frac{\lambda_1}{n_1^2} \ll 1$  和  $\frac{\lambda_2}{n_2^2} \ll 1$ ，这表示支系統之間微弱的力耦合。

3. 在弱耦合度的情况下，即当  $4\lambda_1 \lambda_2 \ll (n_1^2 - n_2^2)^2$  时，

$$k_1 \approx \frac{\lambda_2}{n_2^2 - n_1^2}, \quad k_2 \approx \frac{n_1^2 - n_2^2}{\lambda_1} \quad (1.7)$$

$$\text{和} \quad \omega_1^2 \approx n_1^2 + \frac{\lambda_1 \lambda_2}{n_1^2 - n_2^2}, \quad \omega_2^2 \approx n_2^2 - \frac{\lambda_1 \lambda_2}{n_1^2 - n_2^2}. \quad (1.8)$$

在頻率為  $n_1$  的支系統中， $\omega_1$  的簡正振动占主要地位 ( $k_1$  小，

$k_2$  大), 而在另一支系统中, 频率为  $\omega_2$  的振动占主要地位。因为此时  $\omega_1$  接近于  $n_1$  而  $\omega_2$  接近于  $n_2$ , 故在此情况下, 支系统本身的特征就在两个摆的振动形式中鲜明地表现出来。

4. 在强耦合度的极限情况下, 即当  $n_1 = n_2$  时,

$$k_1 = -\sqrt{\frac{J_1}{J_2}}, \quad k_2 = \sqrt{\frac{J_1}{J_2}}, \quad (1.9)$$

和

$$\omega_1^2 = n^2 + 1/\lambda_1\lambda_2, \quad \omega_2^2 = n^2 - 1/\lambda_1\lambda_2. \quad (1.10)$$

此时, 简正振动的显著的局部化将消失不見; 無論力耦合怎样微弱, 各个简正振动的能量将在两个支系统中平均地分配着, 因为  $k_1$  和  $k_2$  并不依从于  $\lambda_1$  和  $\lambda_2$ 。简正频率和支频率有很显著的区别。

### § 3. 实验部分

由圖 1 中可以看出, 我們所选定的耦合系統要比实际上通常遇到的简略得多, 因而是有一些概略性的。

能够清楚地說明成拍的机构是这样一个系統的优点之一。拍的存在正如前已指出, 是耦合系統的典型特征。实际上很容易觀察得到, 当能量从右边的摆轉移到左边的摆时, 左摆的周相总是落后于右摆, 所以左边的摆受到加速, 而右边的摆則受到减速。当能量的轉移終結时, 則产生周相的变换, 这时是右边的摆落后于左边的摆。

另外一个优点, 就是緒言中所說过的那些耦合系統的特殊現象, 在目前这个系統中表現得特別明显。

必須同时記得, 这个系統虽然有它的概括性, 但正如所有的实际系統一样, 是与理論的情况有所不同的。首先, 这个系統具有頗大的阻尼, 結果使振幅随着时间而减小。所以最好在很短的时间內, 即当两个摆的振幅尚未有显著的改变时来进行測量。在弱耦

合的情况下，即当拍的周期变成很大，以致第二个摆来不及摆动起来之前，振动已經衰弱，这时，由于衰減的發生，就不可能对能量的轉移进行研究。其次，只有在平衡位置附近有微小的振动时，这一系統才能够用綫性方程式来表示。当振幅大于 $20-25^{\circ}$ 时，便开始明显地表現出系統的非綫性的性質，特別是振动的頻率依振幅而轉移。当振幅过于微小时，靜摩擦就顯現出来。第三方面，每一个摆实际上具有很多个自由度，且其中一些自由度可能在一定的起始条件下受到激發。除此之外，使兩個摆耦合起来的彈簧是具有質量的；和一切的弱彈簧一样，这个彈簧在压缩时工作得总沒有在伸長时为好。所有这些事實無論在實驗的裝置上或者把理論与實驗作对比的时候，都应当估計在內。

實驗的具体目的是这样的：改变表征着支系統耦合程度的數值  $\frac{4\lambda_1\lambda_2}{(n_1^2-n_2^2)^2}$ ，試証明，隨着这个數值的增加，支系統本身的固有性質將逐漸表現得不显著，簡正振动按照各个自由度分配得逐漸均勻，而簡正頻率和支頻率則逐漸远离。

實習 I. 选定  $a$  的一个中等的數值，并研究当  $n_1$  不变时， $\omega_1$ ， $\omega_2$ ， $k_1$  和  $k_2$  对于  $n_2$  的依从关系（选取  $n_1$  使接近于頻率变动範圍內的中間值，对于  $n_2$  选取 5—6 个不同的值）。作出兩個曲綫圖：

(1)  $\left(\frac{\omega_1}{n_1}\right)^2$  和  $\left(\frac{\omega_2}{n_1}\right)^2$  作为  $\left(\frac{n_2}{n_1}\right)^2$  的函数[維恩 (Wien) 曲綫圖]，

(2)  $k_1$  和  $k_2$  作为  $\left(\frac{n_2}{n_1}\right)^2$  的函数。

从理論公式(1.5)和(1.6)，根据  $n_1$ ， $n_2$ ， $\lambda_1$  和  $\lambda_2$  的實驗数据計算  $\omega_1$ ， $\omega_2$ ， $k_1$  和  $k_2$  之值，并把它們記錄在同一圖上以与實驗值作比較。

實習 II. 研究  $n_1=n_2$  这一極限情况；測定  $\omega_1$ ， $\omega_2$ ， $k_1$  和  $k_2$  对于  $a$  的依从关系（选取 5—6 个  $a$  值）。作出兩個曲綫圖：

3)  $\omega_1$  和  $\omega_2$  作为  $a^2$  的函数，

4)  $k_1$  和  $k_2$  作为  $a^2$  的函数。

按照公式(1.9)和(1.10), 以  $\omega$  和  $k$  作为  $a^2$  的函数在同一坐标轴上作出“理论”<sup>(1)</sup>的曲线。最好将直接由实验得到的  $\Omega$  对  $a^2$  的依从关系和理论上的依从关系作一比较, 理论上的依从关系可由下面得到: 1) 从公式(1.10)根据已知的  $n$  和  $\lambda^{(2)}$ , 及 2) 从公式  $\Omega = \omega_1 - \omega_2$ , 式中的  $\omega_1$  和  $\omega_2$  是已经测得的。所有这三条曲线都画在同一个图上。

a) 简正振动(实验 I 和 II)分配系数的测定。

实验 III. 首先给与两个摆的系统以下列的起始条件:

当  $t=0$  时,  $\varphi_1=1$ ,  $\varphi_2=0$ ,  $\dot{\varphi}_1=0$ ,  $\dot{\varphi}_2=0$ 。

如  $\omega_1 - \omega_2 \ll \omega_1 + \omega_2$ , 则当进行实验时可以知道, 在两个摆之间存在着能量的部分转移, 如图 2 所示。记录出  $\varphi_2$  的最大振幅是最容易的, 让我们以  $A$  来表示它。将上述起始条件代入式(1.4a)和(1.4b), 得

$$A = \frac{2k_1 k_2}{k_2 - k_1}. \quad (1.11)$$

实验 IV. 以下列的起始条件进行实验:

当  $t=0$  时,  $\varphi_2=1$ ,  $\varphi_1=0$ ,  $\dot{\varphi}_1=0$ ,  $\dot{\varphi}_2=0$ 。

记录  $\varphi_1$  的最大振幅; 让我们用  $B$  来表示它。将起始条件代入(1.4a, b), 得

$$B = \frac{2}{k_2 - k_1}. \quad (1.12)$$

由实验确定了  $A$  和  $B$  值之后, 不难算出  $k_1$  和  $k_2$ 。实际上从式(1.11)和(1.12)可得:

$$k_{1,2} = \pm \sqrt{\frac{1+AB}{B}}. \quad (1.13)$$

(1) 参阅本章的总结论。

(2) 必须记得, 公式(1.8)是近似的。